

Rys. 1-913. SF137

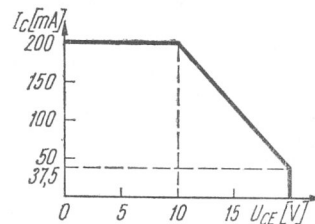
Wartości charakterystyczne¹⁾

	min	typ	max		
I_{CBO}		0,15	100	nA	przy $U_{CB} = 40$ V
I_{EBO}		3,5	100	nA	przy $U_{EB} = 5$ V
$U_{(BR)CEO}$	20	38		V	przy $I_C = 10$ mA
$U_{CE sat}$			0,3	V	przy $I_B = 1$ mA, $I_C = 10$ mA
h_{21E} (A)	18		35	}	przy $U_{CE} = 1$ V, $I_C = 10$ mA
(B)	28		71		
(C)	56		140		
(D)	112		280		
(E)	224		560		
(F)	450		1120		
f_T	300			MHz	przy $U_{CE} = 10$ V, $I_C = 10$ mA, $f = 100$ MHz
F		6,8		dB	przy $U_{CE} = 10$ V, $I_C = 10$ mA
$ h_{12b} $		75	130	ps	przy $U_{CB} = 10$ V, $I_C = 10$ mA, $f = 30$ MHz
ω					
h_{11e}		3,2		k Ω	}
h_{12e}		2,5		10^{-4}	
h_{21e}		310			
h_{22e}		31		μS	
C_{22b}		2,5	5	pF	
					przy $U_{CE} = 6$ V, $I_C = 2$ mA, $f = 1$ kHz
					przy $U_{CE} = 10$ V, $I_E = 0$, $f = 2$ MHz

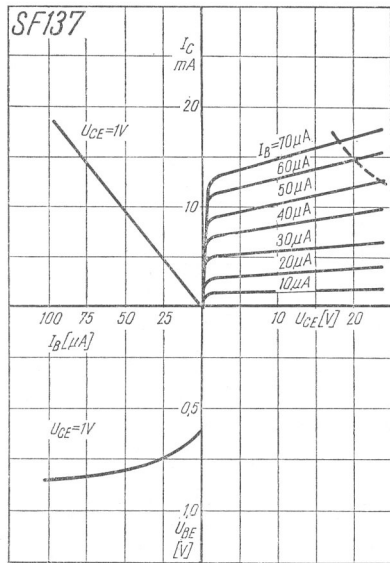
Wartości graniczne

$U_{CBO max}$	40	V	$P_{tot max}$	1 ³⁾	W
$U_{CEO max}$	20	V	$t_j max$	+175	$^{\circ}C$
$U_{EBO max}$	5	V	t_{amb}	-40 ÷ +125	$^{\circ}C$
$I_C max$	200	mA	R_{thj-a}	0,5	$^{\circ}C/mW$
$I_B max$	20	mA	R_{thj-c}	0,15	$^{\circ}C/mW$
$P_{tot max}$	300 ²⁾	mW			

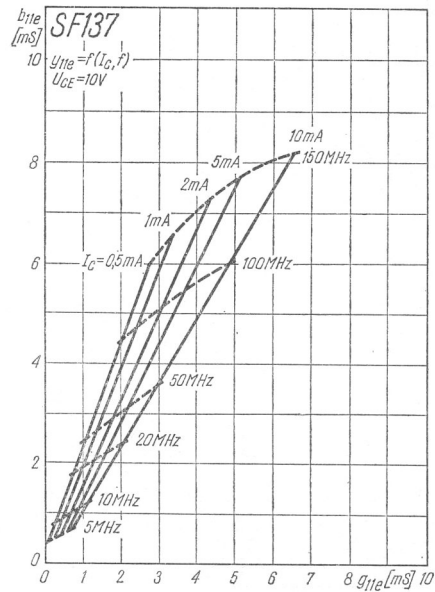
1) $t_{amb} = 25^{\circ}C (-5^{\circ}C)$
 2) $t_{amb} = 25^{\circ}C$
 3) $t_{case} = 25^{\circ}C$



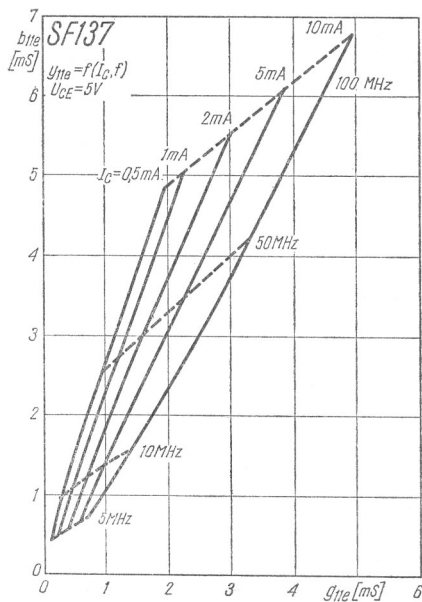
Rys. 1-914. Dopuszczalny zakres pracy tranzystora



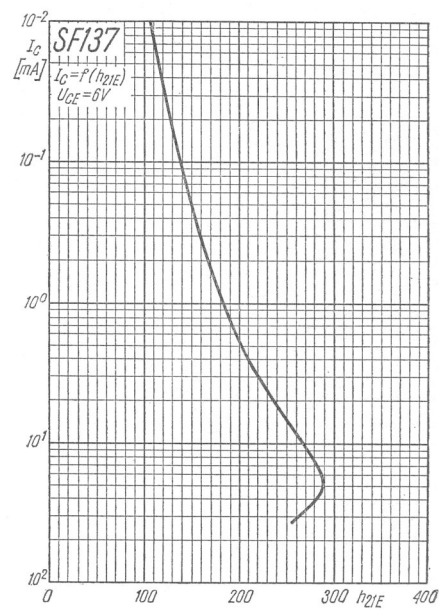
Rys. 1-915. Charakterystyki statyczne



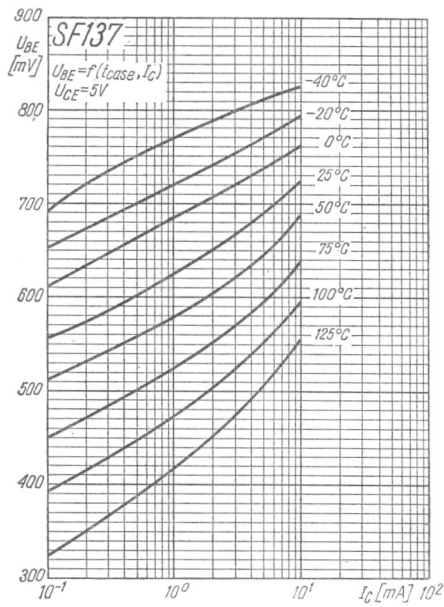
Rys. 1-916. Zależności admitancji wejściowej y_{11e} od prądu kolektora i częstotliwości



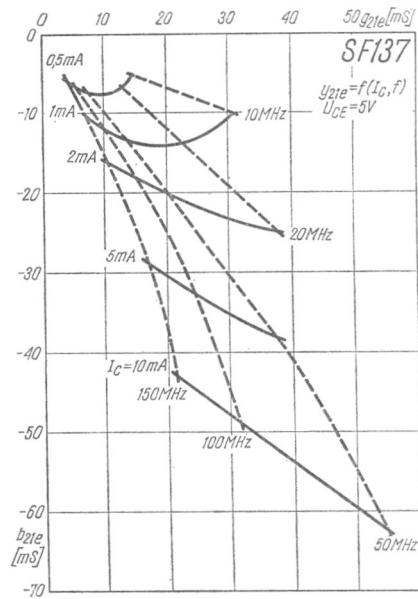
Rys. 1-917. Zależności admitancji wejściowej y_{11e} od prądu kolektora i częstotliwości



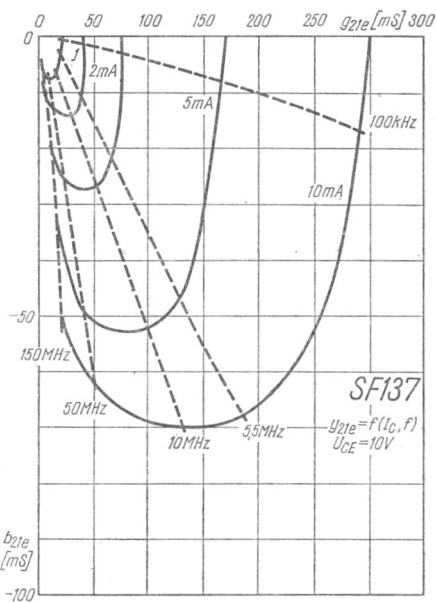
Rys. 1-918. Zależność współczynnika wzmocnienia prądowego od prądu kolektora



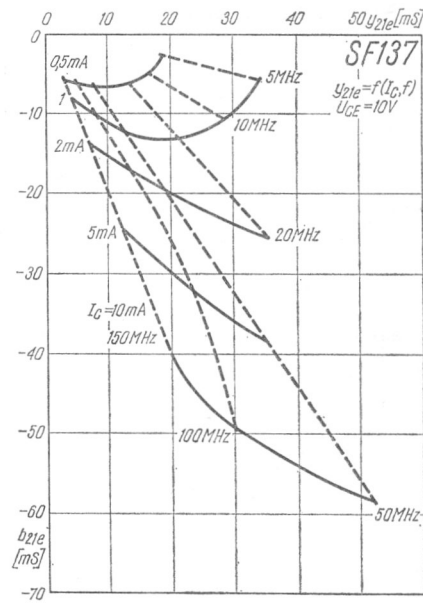
Rys. 1-919. Charakterystyki sterowania napięciowego



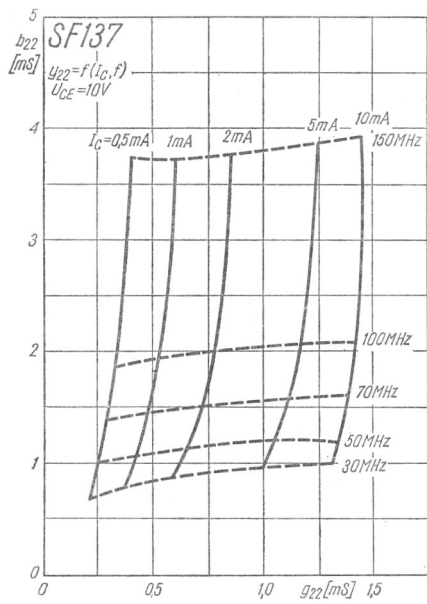
Rys. 1-920. Zależność admitancji przejściowej y_{21e} od prądu kolektora i częstotliwości



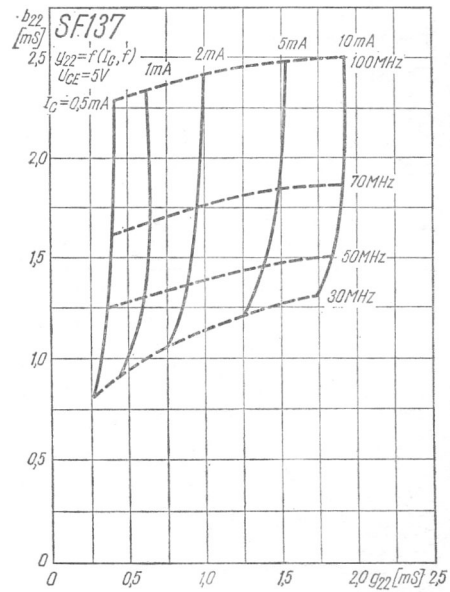
Rys. 1-921. Zależności admitancji przejściowej y_{21e} od prądu kolektora i częstotliwości



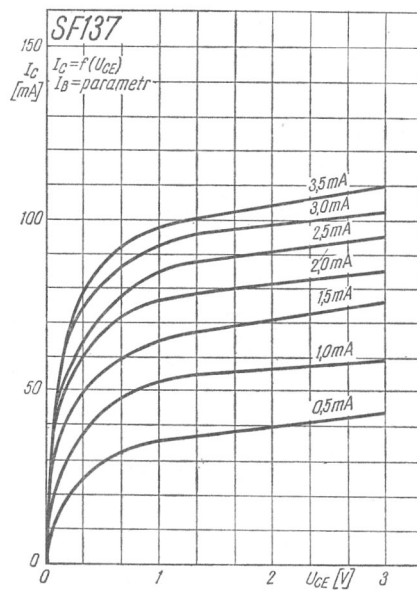
Rys. 1-922. Zależność admitancji przejściowej y_{21e} od prądu kolektora i częstotliwości



Rys. 1-923. Zależność admitancji wyjściowej y_{22e} od prądu kolektora i częstotliwości



Rys. 1-924. Zależność admitancji wyjściowej y_{22e} od prądu kolektora i częstotliwości



Rys. 1-925. Charakterystyki wyjściowe